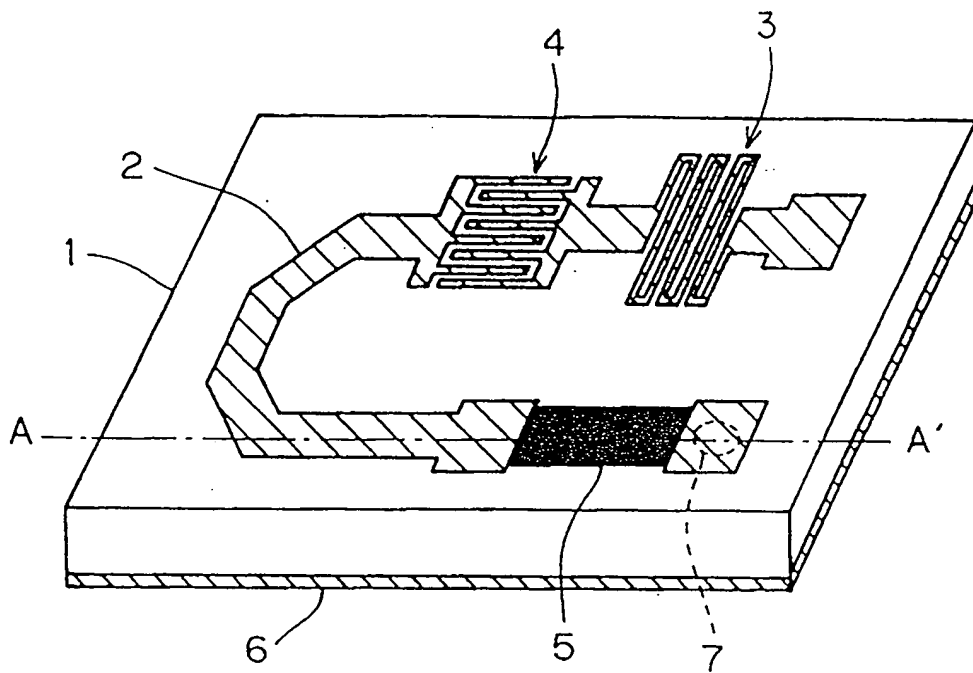
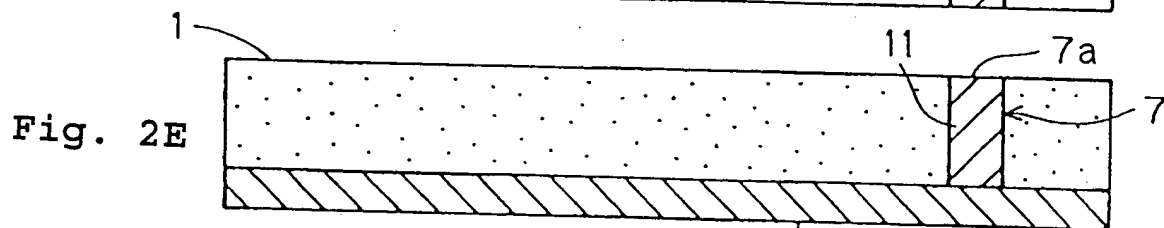
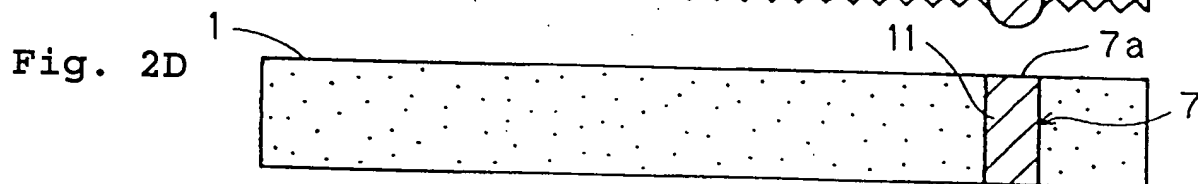
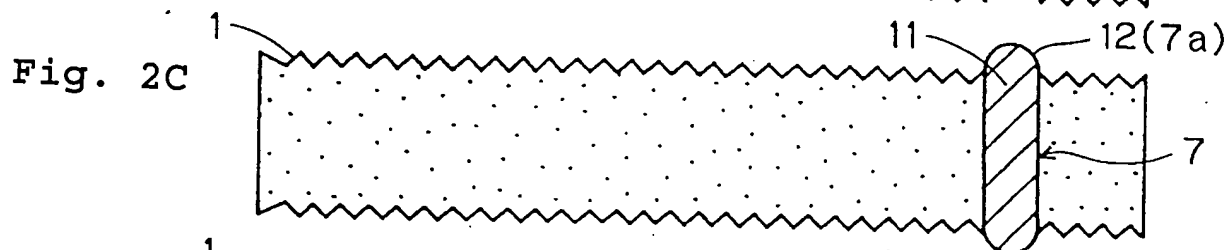
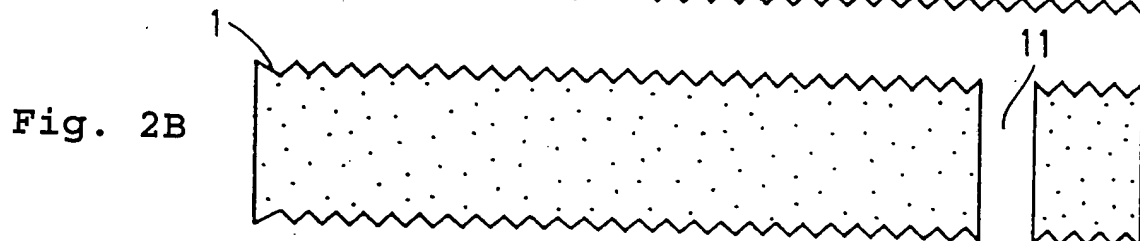
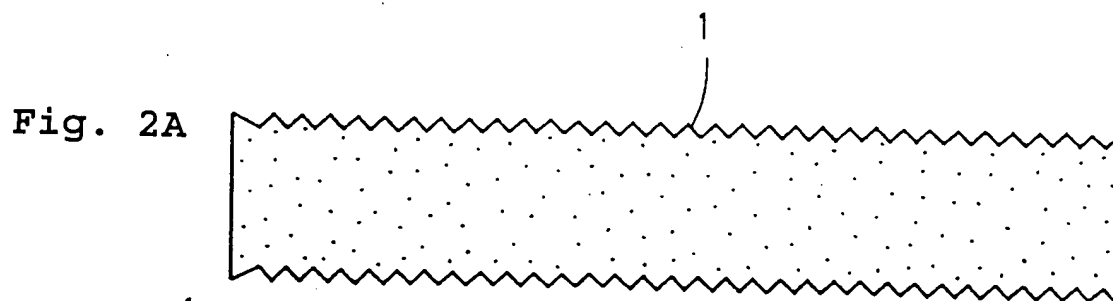


Fig. 1





13(6)

Fig. 3A

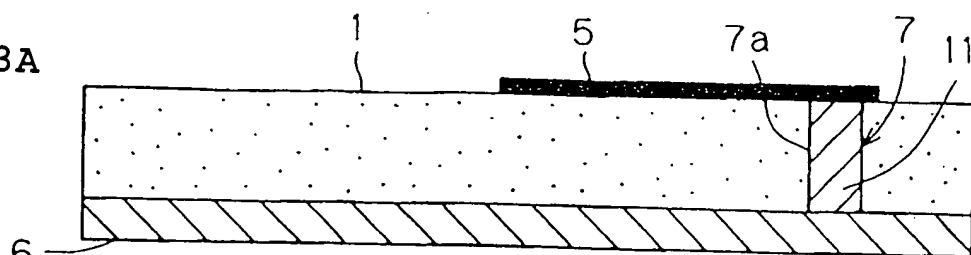


Fig. 3B

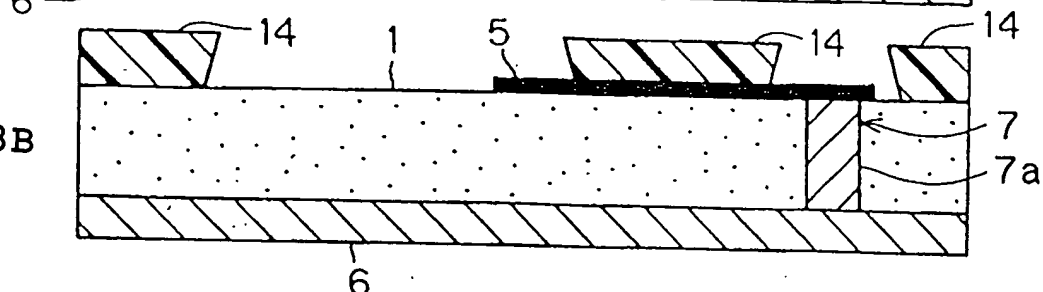


Fig. 3C

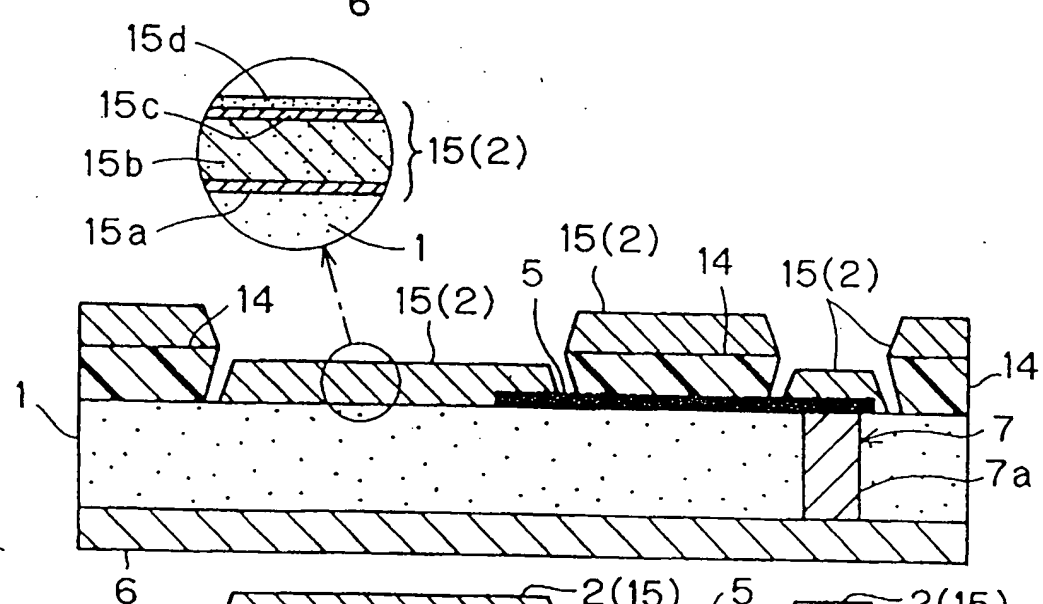


Fig. 3D

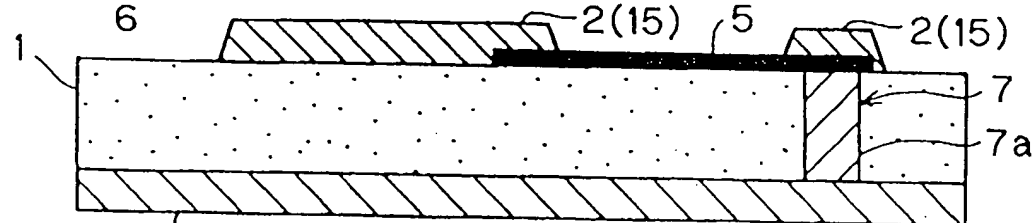


Fig. 3E

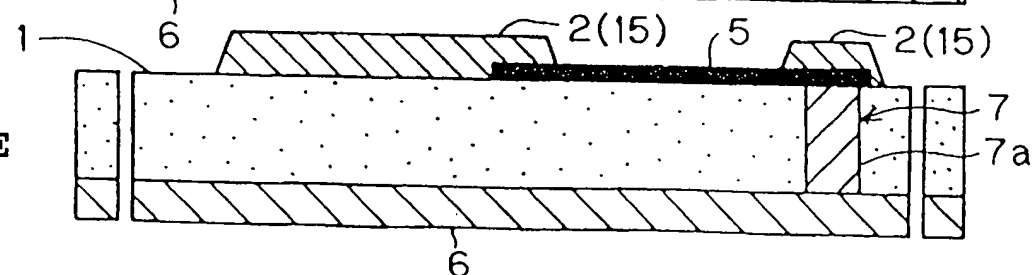




Fig. 4A

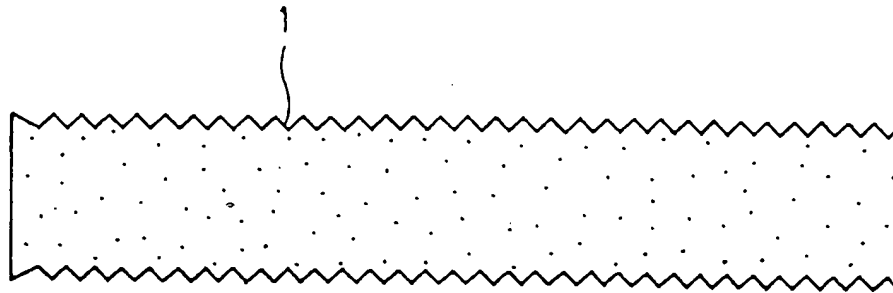


Fig. 4B

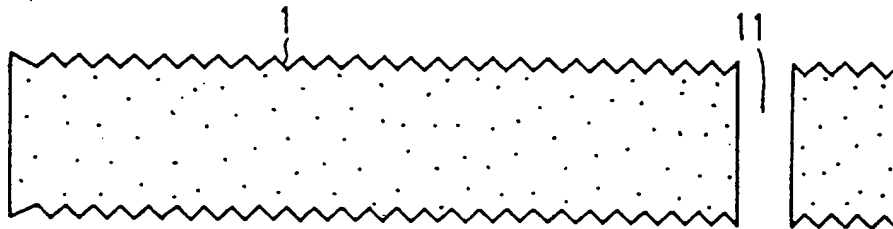


Fig. 4C

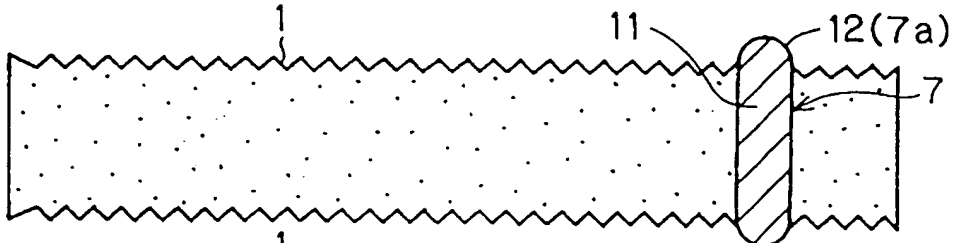


Fig. 4D

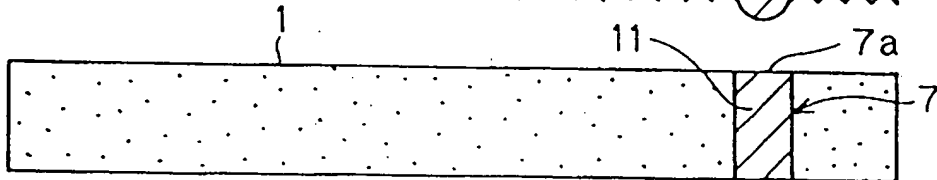
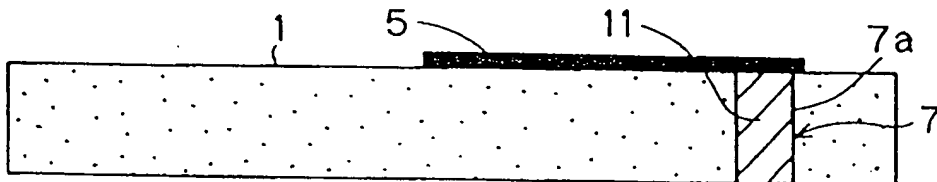


Fig. 4E



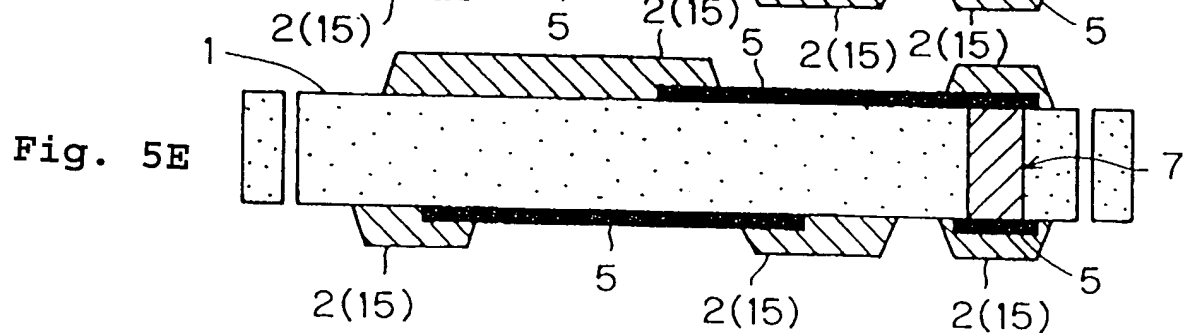
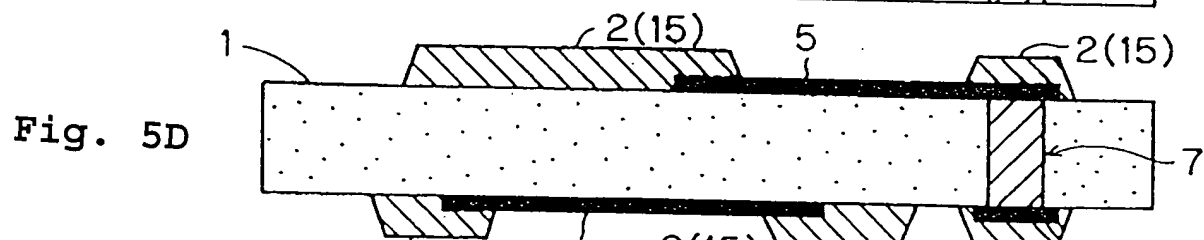
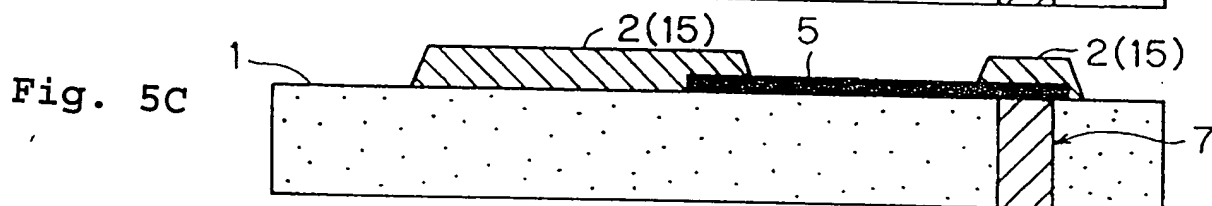
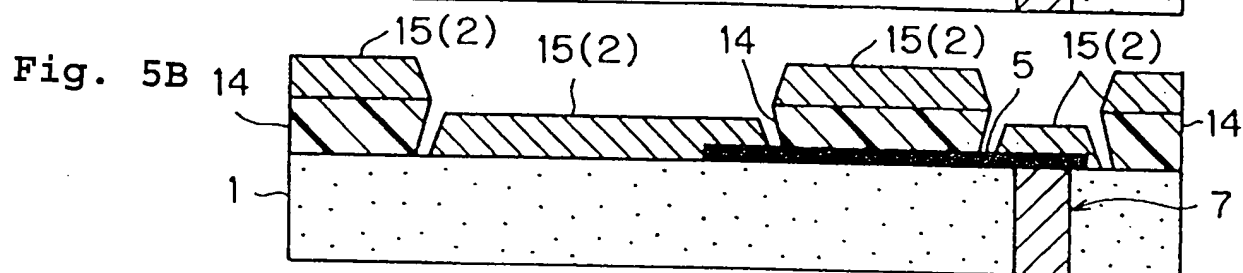
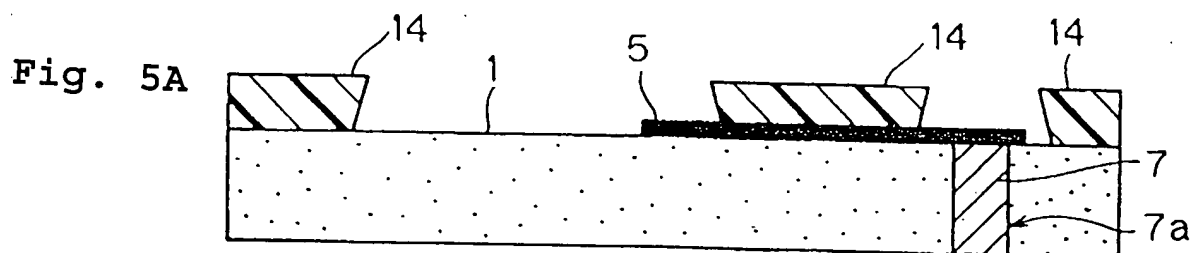




Fig. 6

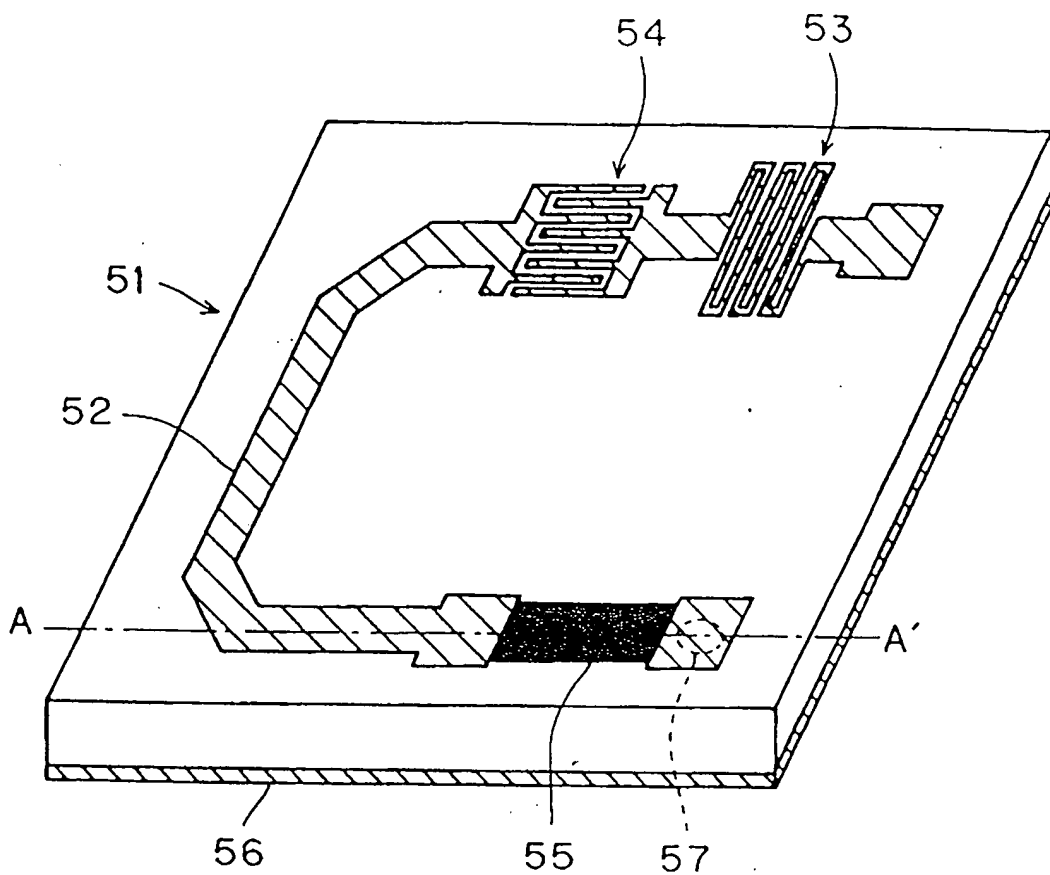




Fig. 7
PRIOR ART

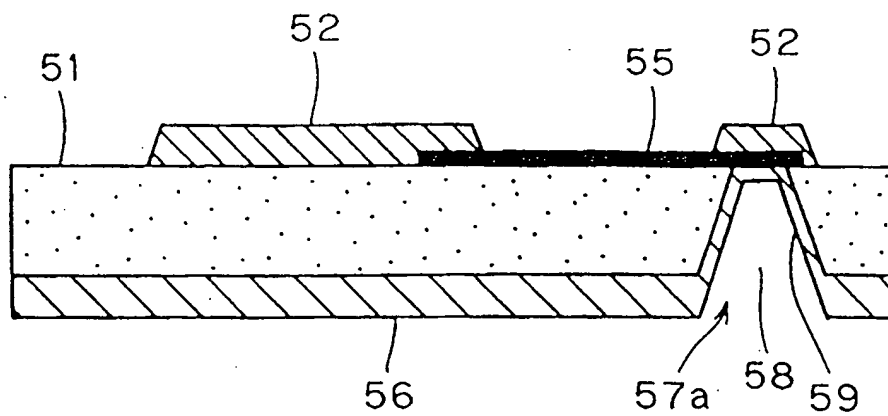


Fig. 8
PRIOR ART

